

臨床的 安靜位와 Interocclusal Distance에 關한 頭部計測 X-線學的研究*

서울大學校 大學院 歯醫學科 補綴學 專攻
(指導 陳 庸 奘 教授)

金 祥 世

一目 次—

- I. 緒論
- II. 研究對象 및 研究方法
 - 1. 研究對象
 - 2. 研究方法
 - 가) 摄影裝置 및 現像
 - 나) 摄影方法
 - 다) 研究方法
- III. 研究成績
- IV. 總括 및 考按
- V. 結論
- 參考文獻
- 英文抄錄

I. 緒論

頭部計測 X-線像(roentgenographic cephalometry)은 人類學 및 齒科醫學에서의 矯正學의 症例分析과, 補綴學에서의 咬合과 顏面高徑分析에 많이 適用되어, 最近에는 齒科領域의 診斷과 治療에 必須要件이 되어 있다.

頭部計測 X-線像을 利用하여 Thompson³², Atwood³³, Basler³⁴, Swerdlow²⁸, Coccaro & Lloyd³⁵ 및 Hull & Junghans³⁶等은 顏面高徑決定에 關하여 研究한 바 있고, Ricketts³⁷는 補綴學 診斷의 役割에 關하여, Duncan & Williams³⁸, Brigante³⁹는 下頸運動에 關하여 研究하였다. 韓國人에 있어서 顏面高徑을 年齡別 및 義齒裝着患者로 나누어 分析한 張⁴⁰이 있고, 特殊 aluminum filter를 插入하여 軟組織을 摄影하고 顏面形態分析을 한 朴^{41, 42}이 있으며, 安^{43, 44}은 韓國人的 cephalometric에 關한 基準值와 顎顏面成長에 關하여 研究한 바 있다.

顏面高徑決定과 直接的으로 關係되는 下頸 安靜位(rest position of mandible)에 關하여는 일찌기 1771

年 Hunter¹⁸가 定義를 記述한 以來, 1904年 Wallish¹⁹ (Gottlieb)²⁰가 처음으로 生理的 安靜位(physiological rest position) 라稱했다. 그후 Gillis²¹, Thompson^{33, 34}, Sicher²²가 生理的 安靜位의 定義를 確立 시켰으나 Atwood²³는 生理的 安靜位 보다 臨床的 安靜位라고 命하는 것이 옳다고 主張하였다.

Niswonger¹⁹, 金⁴²等은 軟組織上에서 直接 安靜位의 距離를 測定하였고, Joniot²⁵, Shpuntoff²⁶, Krajicek²⁷等은 筋電圖(electromyogram)를 利用하여 安靜位와 顏面高徑을 聯關시켜 義齒製作에 適用할 可能性을 보여 주었고, Yasaki³⁹는 安靜位를 三段階로 나누어 Interocclusal Distance를 測定하였으며, Tench³¹는 顏面의 高徑增加가 內包하는 危險性에 關하여, Willis³⁷는 顏面高徑을 審美的으로 着眼하였고, 그밖에 安⁴⁵等의 研究가 實行되어 왔다.

이와 같이 顏面高徑과 安靜位에 關한 研究外에, Douglas⁸는 “open rest”狀態에서 咬合面과 上下唇과의 關係를 計測하였고, Hurst¹⁴는 上唇의 길이와 顏面高徑과 Interocclusal Distance와의 相關關係를 研究하였으며, Årstrand¹¹는 口唇과 舌의 位置關係를 咬合面과 聯關시켜 義齒製作에 應用하는 等 많은 學者들이 여려 가지로 研究한 바 있다^{17, 27, 36}.

總義齒製作에 있어 顏面高徑決定은 軟組織上에 어때 한 表示點을 定하고 臨床的 安靜位와 中心咬合位間의 差를 求하여, 顏面高徑과 Interocclusal Distance를 決定하게 되는데, 이때 表示點間의 位置나 安靜位를 取하는 方法에 있어, 臨床의 으로 流動性이 있으므로 臨床補綴에 應用하기 매우 힘든 것이다. 따라서 著者は 臨床의 으로 널리 使用되고 있는 顏面 軟組織上의 表示點을 X-線像에 나타낼 수 있도록 하고, 臨床的 安靜位를 取하는 方法을 달리 하여 Interocclusal Distance를 算出分석한 結果, 興味있는 知見을 얻어, 이를 報告하는 바이다.

* 本論文의 要旨는 西紀 1974年 11月 2日 第17回 大韓齒科補綴學會 學術大會에서 發表하였다.

II. 研究對象 및 研究方法

1. 研究對象

臨床的 安靜位를 取하게 할 때 被檢者的 主觀의 偏見을 排除하기 為하여 齒科에 對한 常識이 많지 않은 者 블로거 健康한 成人正常咬合者 中 男 49名, 女 61名을 第 1群으로 指하였고, 臨床的 安靜位라는 教育을 받은 齒大 附屬病院 院內生 및 修練醫 男 38名을 第 2群으로, 이에 總義齒를 裝着使用하여 오던, 臨床的 安靜位를 取할 수 있는 無齒顆患者 男女 30名을 第 3群으로 하였다 (Table 1 參照).

Table 1. Number of subjects.

實驗群	性別	人員	對 象 者 現 況
第 1群	男	49	서울大 齒大 本科生
	女	61	S 女大生
第 2群	男	38	齒大 附屬病院 院內生, 인연
第 3群	男女	30	來院 患者 및 기타
計		178	

2. 研究方法

가) 摄影裝置 및 現像 : 西獨 SIEMENS社의 Tele-Radiographic Unit "SK150"을 使用하였다. 이 摄影裝置는 촛점거리가 150cm로 固定되어 있으며, 照準機를 上下左右로 움직여도 그 距離는 變動없이 被檢者の 頭部를 cephalostat의 ear plug로 固定할 수 있도록 되어 있다.

撮影條件은 管電流 15mA, 管電壓 80 Kvp, 露出時間은 1秒로 하고, 8''×10'' film cassette를 使用하였다.

여 頭面 軟組織이 잘 나오도록 cassette의 位置를 調節하였다.

現像是 自動現像機를 使用하였다.

나) 摄影方法 : 頭面 軟組織中 鼻尖端(Nt.: nose tip), Pogonion(Po.; the most anterior point of chin)과 Menton(Me.; the most inferior point of chin)에 작은 鐵球를 接着 tape로 附着시켜 摄影途中 떨어지지 않게 하였다 (Fig. 1 參照).

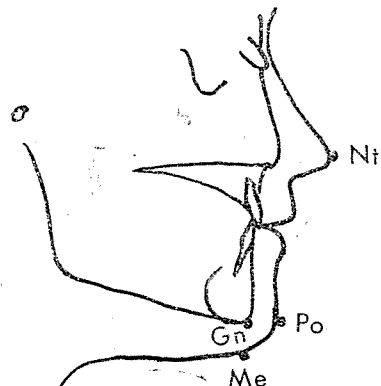


Fig. 1. Landmarks.

被檢者の 姿勢는 正面을 바라보게 하고, ear rod가 兩 外耳孔內에 安樂하게 固定되도록 하였다.

第 1群에서는 中心咬合位(centric position)와 한 方法의 安靜位(rest position; relaxed muscle of mandible)를 取하게 하여 2枚 摄影하였고, 第 2群에서는 中心咬合位와 3 가지의 安靜位(① lightly touch of lips, ② relaxed muscle of mandible, and ③ a few seconds after swallowing of saliva)를 取하게 하여 각 4枚 摄影하였으며, 第 3群은 中心咬合位와 함께 3 가지의 安靜位를 義齒裝着時와 義齒撤去時 모두 同一한 方法으로 同一人에 있어 각 7枚 총 摄影하였다.

다) 研究方法 : 現像된 film을 view desk上에 놓고,

Table 2. Interocclusal Distances according to various landmarks.

Sex (Subjects)	Land- mark	M (mm)	S. D. error	S. D.	Vari- ance	β_2 (Kurt- osis)	Sk (Skew- ness)	Min.	Max.	C. V.	0.95conf. int.
M (49)	Po	1.98	0.18	1.23	1.500	2.21	1.16	0.2	6.1	61.86	1.63—2.33
	Me	1.85	0.13	0.92	0.843	-0.02	0.72	0.3	4.1	49.59	1.59—2.12
	Gn	1.92	0.17	1.16	1.346	1.95	1.38	0.3	5.8	60.28	1.59—2.26
F (61)	Po	1.91	0.17	1.35	1.832	2.02	1.40	0	6.3	70.87	1.56—2.26
	Me	1.84	0.15	1.17	1.364	3.00	1.50	0	6.4	63.39	1.54—2.14
	Gn	1.98	0.16	1.24	1.525	5.56	1.85	0	7.6	62.41	1.66—3.00

計測點間의 距離를 直接 副尺 달린 nonius(1/20mm)로 計測하였다. 即 鼻尖端을 起點으로 하여 Pogonion, Menton과 Gnathion(Gn.; the most inferior point in the contour of the bony chin)까지의 距離를 各各 計測한 後, 安靜位와 中心咬合位間의 差인 Interocclusal Distance(freeway space)를 算出하였다.

第1群에서는 各 表示點別 Interocclusal Distance의 平均值(M), 標準偏差(S.D.), 尖度(β_2 , kurtosis), 歪度(sk. skewness), 變異係數(C.V.) 및 信賴限界等⁴⁾을 算出하였고, 男女間의 差, 表示點 位置間의 差에 對한 有意性 檢定을 하였다. 또한 nose tip에서 硬組織의 表示點인 Gnathion과 軟組織의 表示點인 Pogonion, Menton에서 算出된 서로의 Interocclusal Distance를 比較하여 그 變化를 觀察하였다.

第2群에서는 세가지로 달리한 臨床的 安靜位下에서

Subjects

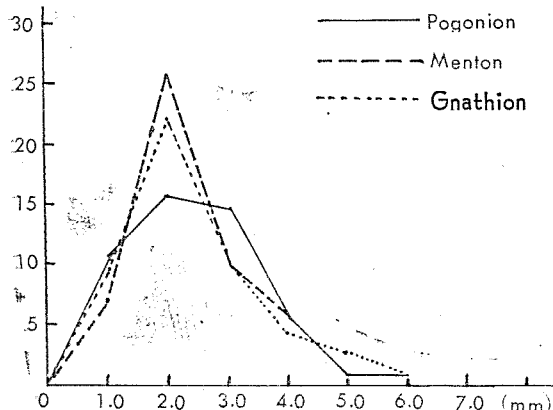


Fig. 2. Distribution of Interocclusal Distance.
(Male 49)

Subjects

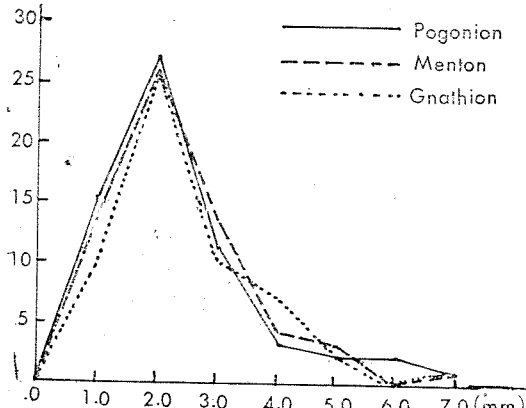


Fig. 3. Distribution of Interocclusal Distance.
(Female 61)

各 表示點別 Interocclusal Distance를 第1群의 統計 算出과 同一하게 하였으며, 다만 有意性 檢定은 UCLA의 BMD中 要因實驗設計⁵⁾에 依據하여 各 安靜位를 取하는 方法과 表示點 位置間의 差를 檢定하였다.

第3群은 總義齒患者群으로서 義齒裝着群과 義齒撤去群으로 分類하여 第2群의 算出法과 同一하게 하였다.

III. 研究成績

第1群: 筋肉弛緩狀態(relaxed muscle of mandible)下에서 臨床的 安靜位를 取하게 하였을 때, 表示點에 따른 Interocclusal Distance는 Table 2와 같으며, 그 分布圖는 Fig. 2, 3과 같다.

硬組織을 基準한 Gnathion을 表示點으로 한 Interocclusal Distance는 男 1.92mm, 女 1.98mm이었고, 軟組織上 Pogonion을 表示點으로 하였을 때 男 1.98mm, 女 1.91mm이었으며, Menton을 表示點으로 하였을 때 男 1.85mm, 女 1.84mm로 나타나 表示點間, 男女間에는 有意差를 認定할 수 없었다(Table 3參照).

Table 3. T-value table.

	Male (Sig.)	Female (Sig.)	M-F	Male-Female (Sig.)
Po-Me	0.59(No)	0.29(No)	Po-Po	1.48(No)
Po-Gn	0.23(No)	0.29(No)	Me-Me	0.21(No)
Me-Gn	0.35(No)	0.62(No)	Gn-Gn	1.25(No)

t=1.980 at the 95 percent level of confidence.

그러나 硬組織 表示點을 基準으로 한 Interocclusal Distance와 軟組織 表示點을 適用한 Interocclusal Distance間의 差를 症例別로 보면 Table 4와 같다.

세개의 表示點으로 이루어 지는 Interocclusal Distance가 同一하다고 生覺되는 症例($\pm 0.5\text{mm}$)는 男子에서 56.1%, 女子 59.8%이었다(Table 4 參照).

第2群: 臨床的 安靜位를 指하는 方法과 表示點 位置에 따른 Interocclusal Distance는 Table 5와 같으며, 그 分布圖는 Fig. 4, 5, 6과 같다.

Lightly touch of lips方法에 依한 臨床的 安靜位下에서 Pogonion 表示點의 Interocclusal Distance는 1.29mm이었고, relaxed muscle of mandible 方法의 Pogonion 表示點의 Interocclusal Distance는 2.21mm로서 方法間의 有意差가 있었다($t=3.73$). 最少値에 있어서 負數는 lightly touch of lips 方法과 swallowing of saliva方法의 Pogonion 部位에서만 볼 수 있었다(Table 5 參照).

Table 4. The number of cases representing linear difference from Interocclusal Distance of Nt-Gn to that of Nt-Po, Nt-Me.

Distance (mm)	Male		Total No. (98)	%	Female		Total No. (122)	%
	Po	Me			Po	Me		
4.6~5.5		1	1	1.0				
3.6~4.5	3		3	3.1				
2.6~3.5	2		2	2.0	1		1	0.8
1.6~2.5	1	2	3	3.1				0
0.6~1.5	9	5	14	14.3	14	7	21	17.2
±0.5	22	33	55	56.1	30	43	73	59.8
-0.6~-1.5	8	7	15	16.3	12	10	22	18.0
-1.6~-2.5	3	1	4	4.1	4	1	5	4.1
-2.6~-3.5	1		1	1.0				

Table 5. Interocclusal Distance according to landmarks in various rest positions.

Method of rest position	Land- mark	M (mm)	S.D. error	S.D.	Vari- ance	β_2	Sk	Min.	Max.	C.V.	0.95 conf- int.
Lightly touch of lips	Po	1.29	0.14	0.86	0.742	-0.53	0.01	-0.6	3.0	66.78	1.01—1.57
	Me	1.42	0.17	1.05	1.098	4.17	1.65	0.2	5.5	73.74	1.08—1.77
	Gn	1.72	0.19	1.00	1.436	5.20	1.92	0.4	6.6	66.68	1.35—2.14
Relaxed muscle of mand.	Po	2.21	0.20	1.20	1.443	-0.93	0.38	0.5	4.8	54.47	1.81—2.60
	Me	1.77	0.15	0.91	0.824	-0.22	0.41	0.2	4.1	51.42	1.47—2.06
	Gn	1.82	0.17	1.07	1.146	1.12	1.03	0.2	5.1	58.95	1.46—2.17
Swallowing of saliva	Po	1.55	0.16	1.00	0.996	-0.50	0.40	-0.4	3.8	64.50	1.22—1.88
	Me	1.41	0.15	0.91	0.819	-0.44	0.74	0.3	4.0	64.26	1.11—1.71
	Gn	1.59	0.16	1.01	1.026	0.96	1.20	0.4	4.4	63.72	1.26—1.92

臨床的 安靜位를 取하게 하는 方法中 relaxed muscle of mandible 方法의 Menton과 Pogonion을 表示點으로 하여 Interocclusal Distance를 graph로 나타낼 때尖端은 3.0mm이었고, swallowing of saliva 方法의 Menton表示點일 경우의 1.0mm를 除外하고는 모두 2.0mm에서 尖端을 보여 주었다(Fig. 4, 5, 6 參照).

그러나 臨床的 安靜位를 取하는 各 方法에 있어서,硬組織 表示點(Gnathion)을 基準으로 한 Interocclusal Distance와 軟組織 表示點(Pogonion, Menton)을 適

用한 Interocclusal Distance間의 差를 症例別로 보면 Table 6과 같다.

세 개의 表示點으로 이루어 지는 Interocclusal Distance가 同一하다고 생각 되는 症例($\pm 0.5\text{mm}$)는 全體의 56.6%를 차지하였다(Table 6 參照).

各各의 臨床的 安靜位를 取하는 方法들과 各各의 表示點間의 相互關係를 分析하기 為하여 UCLA의 BMD中 要因實驗設計⁷⁾를 適用하여 본 結果, 95% 有意水準에서 安靜位를 取하는 方法間에 差異가 있으며, 各表

Table 6. The number of cases representing linear difference from Interocclusal Distance of Nt-Gn to that of Nt-Po, Nt-Me.

Distance (mm)	Lightly		Relaxed		Swallowing		Total No. (228)	%
	Po	Me	Po	Me	Po	Me		
3.6~4.5			1				1	0.4
2.6~3.5			3				3	1.3
1.6~2.5	1		2		3		6	2.5
0.6~1.5	5	2	8	5	7	5	32	14.0
± 0.5	21	25	18	27	16	22	129	56.6
-0.6~-1.5	6	11	3	4	10	11	45	19.7
-1.6~-2.5	4		2	2	2		10	4.4
-2.6~-3.5			1				1	0.4
-3.6~-4.5	1						1	0.4

Subjects

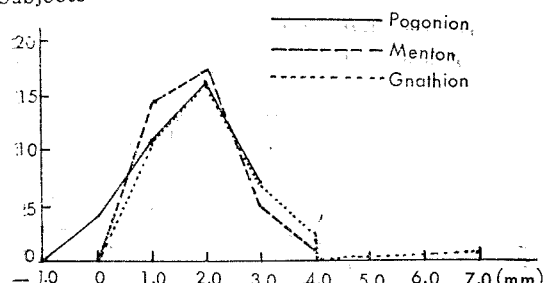


Fig. 4. Distribution of Interocclusal Distance.
(Lightly touch of lips)

Subjects

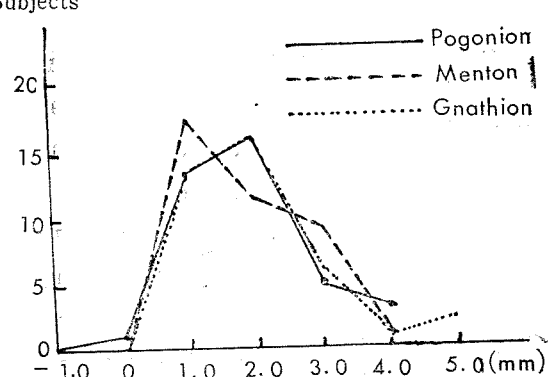


Fig. 6. Distribution of Interocclusal Distance.
(Swallowing of saliva)

Table 7. BMD O2V-Analysis of Variance for Factorial Design, Health Sciences Computing Facility, UCLA.

Source of variation	Degree of freedom	Sums of squares	Mean squares
1	2	14.03439	7.01719
2	2	2.19596	1.09798
1.2	4	346.28876	86.57219
Within replicates	333	13.33905	0.04006
Total	341	375.85816	

示點間에도 差가 存在하여, 其 方法과 表示點間에도 相互影響(interaction 交互作用)을 준다는 事實이 證明되 었다(Table 7 參照).



Fig. 5. Distribution of Interocclusal Distance.
(Relaxed muscle of mandible)

Table 8. Interocclusal Distance according to various landmarks and rest positions with dentures or without dentures.

Method Land- mark	With dentures						Without dentures											
	Lightly touch of lips			Relaxed muscle of mandible			Swallowing of saliva			Lightly touch of lips			Relaxed muscle of mandible			Swallowing of saliva		
Patient	Po	Me	Gn	Po	Me	Gn	Po	Me	Gn	Po	Me	Gn	Po	Me	Gn	Po	Me	Gn
1	0.5	0.9	2.4	3.4	3.2	3.3	3.8	3.3	3.4	0.1	0.3	1.4	1.7	0.1	0	-0.4	-0.1	0.1
2	1.3	1.6	1.9	2.7	2.5	3.0	2.2	2.2	2.3	-0.3	-0.6	-3.8	0.7	0.5	0.4	1.0	0.7	0.6
3	6.3	6.1	4.0	5.8	5.3	3.6	6.0	5.9	4.9	2.2	2.7	2.6	3.1	3.0	3.4	4.8	5.5	4.0
4	0.6	0.6	0.3	3.5	2.0	1.0	3.7	1.8	0.8	-2.1	1.4	2.6	1.3	4.5	4.7	1.0	4.6	6.2
5	0.9	1.7	2.5	1.2	1.1	1.1	0.6	0.6	0.6	2.9	2.7	3.0	3.9	3.5	3.5	0.6	1.2	2.3
6	3.7	4.8	5.0	5.4	6.1	6.4	3.9	3.9	4.1	6.8	10.8	13.6	5.7	8.7	9.7	4.8	8.9	11.3
7	0.5	0.5	1.3	0.6	0.6	1.6	0.6	0.7	0.7	-1.4	-1.0	-0.4	-1.2	-0.6	0.6	-4.3	-3.5	-2.3
8	0.3	0.8	1.1	0.1	0.3	0.9	0.1	0.3	1.0	-3.1	-2.6	-4.6	-0.5	-0.7	-3.3	-0.9	-1.6	-4.4
9	2.8	2.8	3.4	2.4	2.8	3.2	1.6	1.8	1.8	3.0	3.3	3.6	2.7	3.2	3.5	1.9	2.0	1.8
10	-0.7	1.3	1.6	0.1	1.5	1.5	2.1	1.5	0.9	1.7	1.7	1.7	1.1	1.1	1.1	1.3	1.3	1.0
11	1.9	1.1	0.9	2.0	1.3	1.1	2.4	1.7	1.0	1.7	0.8	-0.8	0.8	0.2	-0.8	2.3	0.9	-1.7
12	-0.2	0.4	1.2	1.6	1.5	1.4	0.8	1.3	1.1	2.6	3.9	6.0	2.7	3.7	4.8	0.9	3.1	5.3
13	2.2	3.0	4.2	3.5	3.5	4.2	3.8	3.6	4.3	5.9	6.3	7.2	6.5	7.1	7.5	1.7	2	2.1
14	1.0	0.7	0.7	0.3	0.3	0.5	1.0	0.4	0.3	0.5	2.3	3.8	-0.1	1.2	2.4	-2.2	-0.2	1.6
15	6.3	5.5	4.6	6.0	6.2	4.2	7.9	6.4	2.0	3.8	3.9	7.8	11.9	11.1	9.0	6.8	6.3	4.6
16	1.1	1.1	1.6	4.5	4.6	5.7	1.2	1.6	2.6	2.9	2.5	1.7	3.3	3.0	1.4	2.1	2.0	0.4
17	1.9	1.8	1.9	1.3	0.3	0.2	1.6	0.3	0.2	1.2	-0.9	-1.2	1.2	-0.8	-1.1	0.5	-2.0	-3.1
18	3.8	4.6	7.6	2.8	4.1	9.0	2.2	3.1	6.3	3.5	4.3	8.1	10.0	9.9	11.9	7.5	7.2	9.1
19	2.4	2.2	2.0	4.0	3.2	1.4	3.8	3.5	2.2	5.9	4.5	0.6	5.4	4.4	1.0	4.1	2.1	-1.8
20	1.1	4.6	6.3	2.7	4.9	5.8	2.5	3.6	4.5	2.7	7.7	10.5	3.7	7.2	8.9	2.8	5.0	6.0
21	0.2	0.5	1.1	0.6	0.9	1.4	1.3	1.6	2.1	-7.8	-6.9	-2.4	-6.2	-4.2	-0.3	-2.8	-2.1	0.2
22	3.5	3.3	2.5	3.3	3.0	2.1	4.5	4.8	2.2	3.6	3.5	3.0	5.7	5.8	5.4	3.0	3.0	2.7
23	1.4	1.4	1.7	2.0	2.0	2.3	2.5	2.1	1.6	3.5	2.5	1.3	3.8	2.2	0.9	2.8	0	-1.5
24	1.1	1.1	1.5	3.4	3.0	2.1	1.1	1.4	1.9	-2.7	-2.6	-3.8	0.3	-0.2	-1.4	-0.9	-2.3	-4.8
25	0.2	0.6	3.9	1.0	1.2	3.7	0.5	0.6	2.6	-1.5	1.3	2.4	3.5	4.7	6.3	2.1	3.0	3.0
26	3.6	4.7	6.6	5.4	5.3	6.0	5.5	5.6	6.1	1.3	3.4	4.9	5.8	6.8	7.1	5.2	5.9	6.2
27	5.5	5.7	6.2	5.7	5.6	5.8	5.6	6.5	7.2	5.9	7.4	8.6	3.0	4.2	5.2	3.2	4.1	4.8
28	-0.1	0.8	1.8	0.5	1.4	1.4	1.3	1.8	1.5	1.9	4.0	6.2	2.0	3.8	5.0	0.2	3.2	5.5
29	2.5	2.6	2.4	4.3	4.1	4.4	3.3	3.0	3.6	3.2	3.4	4.6	4.2	3.2	3.2	2.7	3.0	3.3
30	2.2	2.1	3.0	3.7	3.6	4.7	4.3	3.7	4.7	0.7	0.1	2.1	1.6	1.4	2.9	3.3	2.9	3.5

Table 9. Interocclusal Distances according to landmarks in various rest positons.

Method	Land-mark	M (mm)	S. D. error	S. D.	Vari- ance	β_2	Sk.	Min.	Max.	C. V.	0.95 conf. int.	
With dentures	Lightly touch of lips	Po	1.91	0.34	1.84	3.393	0.31	0.99	-0.7	6.3	96.44	1.22~2.60
		Me	2.30	0.33	1.79	3.201	-0.71	0.82	0.4	6.1	77.90	1.63~2.97
		Gn	2.84	0.35	1.94	3.749	-0.10	0.96	0.3	7.6	68.18	2.12~3.56
	Relaxed muscle of mandible	Po	2.79	0.33	1.83	3.345	-1.06	0.16	0.1	6.0	65.56	2.11~3.48
		Me	2.85	0.33	1.83	3.341	-1.08	0.29	0.3	6.2	64.21	2.16~3.53
		Gn	3.10	0.39	2.15	4.628	0.01	0.79	0.2	9.0	69.40	2.30~3.90
	Swallowing of saliva	Po	2.72	0.35	1.91	3.638	0.08	0.80	0.1	7.9	70.04	2.01~3.44
		Me	2.62	0.34	1.83	3.362	-0.49	0.69	0.3	6.5	69.98	1.94~3.31
		Gn	2.69	0.35	1.89	3.583	-0.40	0.71	0.2	7.2	70.45	1.98~3.39
Without dentures	Lightly touch of lips	Po	1.62	0.57	3.10	9.604	1.22	-0.85	-7.8	6.8	191.30	0.46~2.78
		Me	2.22	0.64	3.52	12.398	0.71	-0.09	-6.9	10.8	158.85	0.90~3.53
		Gn	3.91	0.78	4.28	18.325	-0.68	0.33	-4.6	13.6	142.06	1.42~4.61
	Relaxed muscle of mandible	Po	2.90	0.62	3.37	11.383	1.68	0.25	-6.2	11.9	116.34	1.64~4.16
		Me	3.25	0.63	3.42	11.719	-0.08	0.29	-4.2	11.1	105.44	1.97~4.53
		Gn	3.45	0.68	3.70	13.669	-0.52	0.38	-3.3	11.9	107.27	2.07~4.83
	Swallowing of saliva	Po	1.84	0.48	2.65	7.001	0.10	-0.08	-4.3	7.5	144.06	0.85~2.83
		Me	2.20	0.54	2.98	8.889	-0.40	0.13	-3.5	8.9	135.32	1.09~3.32
		Gn	2.20	0.69	3.80	14.445	-0.20	0.19	-4.8	11.3	172.76	0.78~3.62

第3群：無齒頸患者 男女30名에 對한 實驗計測值 및 統計値는 Table 8, 9와 같으며, 年齡分布는 40才~75才로서 平均年齡은 62.5才이었다.

臨床的 安靜位를 取하는 方法中 lightly touch of lips 方法下에서 Pogonion 表示點의 Interocclusal Distance 가 義齒裝着時 負數로 나타난 것은 3名이었고, 義齒撤去時의 같은 表示點에서는 7名이었다. relaxed muscle of mandible 및 swallowing of saliva方法中 負數로 나타난 것은 단지 義齒撤去時에만 볼 수 있었으며, 두 方法에 따라 Menton 表示點에 5名, 7名, Gnathion 表示點에 5名, 7名이었다(Table 8 參照).

臨床的 安靜位를 取하는 各 方法下에서 表示點間의 Interocclusal Distance의 平均值中 義齒裝着群의 最少値는 lightly touch of lips 方法의 Pogonion 表示點이었고(1.91mm), 義齒撤去群의 最少値도 同一方法

의 同一 表示點이었다(1.62mm). 또한 最大 Interocclusal Distance는 義齒裝着群 및 義齒撤去群 共히 relaxed muscle of mandible 方法下의 Gnathion 表示點으로 각각 3.10mm, 3.45mm이었다.

各 表示點間의 Interocclusal Distance의 最大値는 義齒裝着群보다 義齒撤去群에서 더욱 크게 나타났으며, 最少値는 義齒撤去群에서 더욱 작게 나타났다.

標準偏差와 變異係數는 義齒裝着群보다 義齒撤去群에서 모두 長大하였다. 即 義齒撤去群의 標準偏差는 該當된 Interocclusal Distance의 平均值보다 커졌으며, 變異係數도 100%가 輝先 님었다(Table 9 參照).

義齒裝着群과 義齒撤去群에 있어서 各 臨床的 安靜位를 取하는 方法間 및 表示點間의 Interocclusal Distance (Table 8)의 分布表는 Table 10과 같다.

義齒裝着群의 Interocclusal Distance는 0~7.0mm

Table 10. Distribution of Interocclusal Distances.

Distance (mm)	With dentures					Without dentures									
	Lightly touch of lips		Relaxed muscle of mandible		Swallowing of saliva	Sum (270)	%	Lightly touch of lips		Relaxed muscle of mandible		Swallowing of saliva	Sum (270)	%	
	Po	Me	Gn	Po	Me	Gn		Po	Me	Gn	Po	Me	Gn		
14														1	0.4
13															
12															
11															
10															
9															
8															
7															
6															
5															
4															
3															
2															
1															
0															
-1															
-2															
-3															
-4															
-5															
-6															
-7															
-8															

내에 집중되어 있으나, 義齒撤去群에서는 全般的으로 分散되어 있음을 볼 수 있었다 (Table 10 參照).

한편 硬組織 表示點을 基準으로 한 Interocclusal Distance와 軟組織 表示點을 適用한 Interocclusal Distance間의 差를 症例別로 보면 Table 11과 같다.

세 개의 表示點으로 이루어 지는 Interocclusal Distance가同一하다고 생각되는 症例 ($\pm 0.5\text{mm}$)는 義齒裝着群에서 40.6%, 義齒撤去群에서 23.3%였으며 平均 31.9%이었다.

臨床的 安靜位를 取하는 方法들과 軟組織上의 表示點間의 相互關係를 分析하기 為하여 UCLA의 BMD中 要因實驗設計 (Table 12)에 依한 結果, 義齒裝着群과 義齒撤去群의 兩 實驗群間의 모든 定靜位의 方法과 그 表示點 (Po, Me, Gn)間에 있어서 Interocclusal Distance의 差는 有意하며, 義齒裝着群間의 安靜位方法과 表示點間, 그리고 義齒撤去群間의 安靜位 method과 表示點間에도 差異가 있음을 證明하고 있다.

Table 11. The number of cases representing linear difference from Interocclusal Distance of Nt-Gn to that of Nt-Po, Nt-Me.

Distance (mm)	With dentures							Without dentures							Total No (360)	% (%)
	Lightly		Relaxed		Swallow-wing		Sum (180)	%	Lightly		Relaxed		Swallow-wing		Sum (180)	%
	Po	Me	Po	Me	Po	Me			Po	Me	Po	Me	Po	Me		
5.6~6.5					1		1	0.5					1		1	0.6
4.6~5.5									1						1	0.5
3.6~4.5						1	1	0.6		1	2		4	1	8	4.4
2.6~3.5			1		1	1	3	1.7	1	2	1	1	2		7	3.9
1.6~2.5	2	1	3	3	2		11	6.1	3	1	4	2	2	3	15	8.3
0.6~1.5	2	2	4	3	5	4	20	5.6	4	5	1	4	1	3	18	10.0
± 0.5	8	14	8	15	12	16	73	40.6	3	6	5	12	7	9	42	23.3
$-0.6 \sim -1.5$	9	9	11	7	5	6	47	26.1	6	9	5	7	4	5	36	20.0
$-1.6 \sim -2.5$	5	2		1	2		10	5.8	2	5	2	3	7		19	10.5
$-2.6 \sim -3.5$	1	2	2		1	2	8	4.4	3	2	3		2		10	5.5
$-3.6 \sim -4.5$	2					1	3	1.7	4	4	1	2			13	7.2
$-4.6 \sim -5.5$	1			1			2	1.1	3		1		2		6	3.3
$-5.6 \sim -6.5$							1	0.5			1		1		2	1.1
$-6.6 \sim -7.5$										1					1	0.5
$-7.6 \sim -8.5$										1					1	0.3

Table 12. BMD O2V-Analysis of Variance for Factual Design, Health Sciences Computing Facility, UCLA.

Source of variation	Degree of freedom	Sums of squares	Mean squares
1	1	2.14074	2.14074
2	2	60.55678	30.27839
3	3	30.72011	15.36006
1.2	2	17.71404	8.85702
2.3	4	16.45078	4.11269
1.2.3	4	3707.32460	926.83115
Within replicates	522	347.74296	66617
Total	539	4182.65000	

IV. 總括 및 考按

下顎 安靜位는 咀嚼筋, 嘴下筋 및 韶帶가 弛緩된 狀

態^{13, 19}下에서 이루어 지며, 人工의으로 形成되는 것¹⁴ 아니고 自然의으로 形成되는 것¹⁰으로서, 疾病, 過勞 또는 神經性 緊張 等은 筋肉 緊張度를 妨害하는 原因이 되어 正常과 다른 安靜位를 갖게 한다²⁵. 따라서 術者が 安靜位를 取하게 하는 人工의인 方法은 生理의 安靜位를 갖출 수도 없고³⁴, 稱할 수도 없어 “臨床의 安靜位”²²란 用語로 使用하게 되었으며, 義齒製作에 應用하기에 이론 것이다.

臨床의 安靜位에 關한 研究는 計測方法에 있어서, 生體의 顏面 軟組織上에서 直接 計測하는 生體計測法^{16, 19, 21, 27, 42, 45}과, 頭部計測 X-線像을 利用하여 軟組織像에서 的 計測^{12, 43}과 硬(骨)組織像에서 的 計測^{2, 3, 6, 9, 23, 34, 35, 47} 으로 分類할 수 있다. 生體計測法은 實際呈 環境에 여려 條件에 따라 變化를 일으킬 수 있으며, 頭部計測 X-線像에 依한 軟組織像은 barium sulfate¹²나 aluminum filter⁴³를 利用한 特殊方法을 使用하지 않으면 안된다.

또한 下顎 安靜位를 取하게 하는 方法으로는 ① 發音

(主로 “m”音)을 시키는 法과 口唇의 가벼운 接觸(“m” sound and lightly touch of lips)^{1, 3, 4, 9, 14, 21, 27, 28, 42}, ② 下頸筋肉의 驚緩狀態(relaxed muscle of mandible)^{2, 3, 8, 21, 22, 30, 32, 38}, ③ 침을 삼키므로써 몇 秒後에는 中心 咬合位에서 安靜位로 還元하는 狀態(a few seconds after swallowing of saliva)^{3, 4, 9, 12, 28, 32}로 分類할 수 있다.

下頸 安靜位에 關한 研究가운데 Thompson³⁴은 “齒牙有無에 關係없이 一生을 通하여 下頸安靜位는 一定하다”고 한데 反하여, Atwood²⁹와 Tallgren³⁰은 “下頸 安靜位는 變化를 招來하며, 어떤 方法이던 間에 影響을 준다”고 하였다. 그 밖에 下頸安靜位는 下頸筋肉의 支配^{32, 38}를 받아, 下頸과 筋肉 關係를 無視하는 것²²은 義齒製作의 失敗原因이라고 認한 學者도 있다.

著者の 實驗所見으로도 臨床的 安靜位를 取하는 方法(第 2, 3群)에 따라 個人差 뿐만 아니라 實驗群에 따라 差異가 있었으며, Tallgren의 學說이 妥當함을 볼 수 있었다.

또한 安靜位를 取할 때 있어서 軟組織上의 表示點間의 安定性은 各 實驗群마다 Pogonion 보다는 Menton 部位에서 보여주었다. 그러나 安靜位를 取하게 하는 方法間에는, Swerdlow²⁸ 및 Silverman²⁷은 phonetic method가 價値가 있다고 하였으나, 本 實驗에서는 優劣를 가릴 수 없었다.

下頸安靜位에 따른 顔面高徑에 關하여 Sharry²⁴는 “術者가 顔面高徑을 變化시켜 줄 수 없다”고 하였으나, Landy¹⁸은 無齒頸 狀態의 安靜位는 上頸 wax rim을 裝着했을 때의 安靜位보다一般的으로 顔面高徑이 적어 진다고 하였고, Coccaro & Lloyd⁶는 義齒裝着後 六個月에 가장 심하게 減少한다고 指摘하였으며, Duncan & Williams⁹는 pre-extraction時 보다 義齒撤去時의 下頸 安靜位에 2.65mm 減小하였고, Tallgren³⁰은 1.4 mm 減少함을 報告한 바 있었다.

그러나 本 實驗에 있어서 無齒頸 實驗群에 있어 義齒裝着群의 中心咬合位를 中心으로 하여 各 方法의 安靜位間의 差, 即 Interocclusal Distance의 分布를 比較하여 보면, 義齒裝着群에서 0~7.0mm에 集中되어 있는 反面, 義齒撤去群에서는 -5.0~12.0mm에 分散되었으며 이와 같은 事實은 義齒撤去時 顔面高徑이 變化할 수 있는 것이라고 생각할 수 있다.

下頸 安靜位와 中心咬合位間의 差인 Interocclusal Distance에 關하여는 Boucher¹⁹가 2~4mm, Landa¹⁷는 0.8~3.5mm, Ramfjord²³가 1~10mm, Yasaki³⁹는 2~8mm, Thompson³⁴은 正常人에서 2~3mm라고 認하였으며, 特히 Yasaki⁴⁰는 그의 實驗에서 第 1 開咬位 1.5~2.0mm, 第 2 開咬位 3.0mm, 第 3 開咬位 5.0~6.0

mm의 三段階의 下頸 安靜位로 區分한 바 있다. 韓國人에 있어서 金⁴²은 男子 1.2~3.4mm, 女子 1.5~3.1 mm라고 報告하였다.

本 實驗에서 nose tip과 硬組織의 表示點인 Gnathion에서 算出된 Interocclusal Distance의 最小最大值는 第 1群의 男子 0.3~5.8mm, 女子 0~7.6mm였고, 第 2群은 0.4~6.6mm였으며, 第 3群은 義齒裝着群은 0.2~9.0mm, 義齒撤去群은 -4.8~13.6mm였다. 이와 같은 結果로 보아 Interocclusal Distance의 平均值를 義齒製作에 適用한다는 것은 危險한 일이며, 失敗原因이 된다고 생각된다.

특히 硬組織의 表示點을 基準으로 한 Interocclusal Distance와 軟組織 表示點(Po, Me)을 基準으로 한 Interocclusal Distance間의 差를 症例別로 나누어, 세 개의 表示點으로 이루어 지는 Interocclusal Distance가 同一하다고 생각되는 症例(± 0.5 mm)는 第 1群에서 男子 56.1%, 女子 59.8%였고, 第 2群은 56.6%로서 第 1群과 類似하였으며, 第 3群의 義齒裝着時는 40.6% 義齒撤去時는 23.3%로서 平均 31.9%를 보여 주었다. 따라서 有齒頸 實驗群(第 1, 2群)은 無齒頸 實驗群(第 3群)보다는 軟組織의 流動성이 적었다고 思料되며, 義齒撤去時보다 義齒裝着時에 安定함을 볼 수 있었으며, 其分布 또한 義齒 實驗群은 -8.0~6.0mm內로서 第 1群의 -3.0~5.0mm, 第 2群의 -4.0~4.0mm보다 甚한 隔差를 나타냄은 安靜位를 取할 때 顔面 軟組織의 流動성이 義齒 實驗群에서 甚하다는 것을 보여 주었다.

또한 Interocclusal Distance가 同一하다고 生覺되는 症例(± 0.5)는 全 實驗群(Table 4, 6, 11) 共히 Pogonion 表示點 보다는 Menton 表示點에서 多數로 나타나음은 顔面 軟組織上의 變化가 이 部位에서 比較的 적었음을 보여 준 것이다.

安靜位를 取하게 하는 方法들과 表示點 位置間의 相關關係를 分析하기 為하여 UCLA의 BMD中 要因實驗設計⁷(analysis of variance for factorial design)를 利用하여 電算機에 依한 算出結果를 보면, 各 臨床의 安靜位를 取하는 方法間에는 差異가 있었으며, 通常 使用되는 下頸 軟組織上의 表示點間에도 差異가 存在함을 立證하였다.

大體로 이와 같은 事實은 咀嚼筋, 嘴下筋 等의 相互作用^{19, 20}과 口唇과 舌^{1, 41}이 下頸 安靜位를 變化시키는 要因이 되며, 또한 緩美性^{30, 37} 및 下頸關節²⁹도 關係가 있으며, 無齒頸인 境遇 齒槽骨의 損失과 筋肉彈力性的喪失에 基因⁴⁸하여 顔面高徑이 달라 질 수 있다고 思料된다.

따라서 下頸 安靜位를 利用하여 顔面高徑決定을 하는 境遇 術者가 參考로 할 事項은 個個人에게 Inter-

occlusal Distance의 平均值에 依存하지 말고, 流動性이
적라고 思料된 Menton部位의 表示點을 두고, 發音運動과 顏面形態에 關한 審美性, 嘸下運動 및 下頸筋肉의
生理的弛緩狀態, 上下唇과 咬合面과의 關係, 咀嚼運動等
을 通하여 顏面高徑을 決定하여야 하며, pre-extraction
record와 roentgeno-cephalometry도 臨床的으로 利用하여 個個人에 適用시킴이 適切하다고 思料된다.

V. 結 論

著者는 頭部計測 X-線像을 利用하여 對象者 178名에게
臨床的 安靜位를 달리 取하게 하였을때 算出된 Inter-
occlusal Distance에 關하여 研究分析한 結果, 다음과
같은 結論을 얻었다.

1. Interocclusal Distance는 臨床的 安靜位를 取하게 하는 方法과 表示點의 位置에 따라 差異가 있었다.
2. Interocclusal Distance는 無齒頸 實驗群보다는 有齒頸 實驗群에서, 義齒撤去群보다는 義齒裝着群에서 安定하였다.
3. 安靜位下에서 義齒裝着群과 義齒撤去群의 顏面高徑은 相異하였다.
4. 安靜位를 取하게 하는 方法間에는 優劣을 찾을 수 없었다.
5. 顏面 軟組織上의 表示點인 Pogonion과 Menton中比較的 變化가 적은 部位는 Menton이었다.

『本論文을 完成함에 있어서 始終 指導와 校閱에 힘써 주신 陳庸奐 教授님과 安炳珪 教授님께 深謝하오며,
極積協助해 주신 補綴學 教室員과 放射線學 教室員 여러분께 深甚한 感謝를 드립니다.』

參 考 文 獻

- 1) Årstand, T.; The Influence of the Lips of Mandibular Rest Position in Edentulous Patients, J. Prosthet. Dent. 15: 27-34, 1965.
- 2) Atwood, D.A.; A Cephalometric Study of the Clinical Rest Position of the Mandible, Part I. The Variability of the Clinical Rest Position Following the Removal of Occlusal Contacts, J. Prosthet. Dent. 6: 504-509, 1956.
- 3) Basler, F.L. & Douglas, J.R.; Cephalometric Analysis of the Vertical Dimension of Occlusion, J. Prosthet. Dent. 11: 831-835, 1961.
- 4) Boucher, C.O.; Swenson's Complete Dentures, pp. 158-175, ed. 5th. The C. V. Mosby Company. 1964.
- 5) Brigante, R.F.; A Cephalometric Study of the Settling and Migration of Dentures, J. Prosthet. Dent. 15: 277-284, 1965.
- 6) Coccato, P.J. & Lloyd, R.S.; Cephalometric Analysis of Morphological Face Height, 15: 35-44, J. Prosthet. Dent. 1965.
- 7) Dixon, W.I.; University of California Publications in Automatic Computation No. 2 BMD-Biomedical Computer Program, pp. 495-510. University of California Press, Berkeley and Los Angeles, 1968. (BMD O2V. Analysis of Variance for Factorial Design)
- 8) Douglas, J.R.; "Open Rest", a New Concept in the Selection of the Vertical Dimension of Occlusion, J. Prosthet. Dent. 15: 850-856, 1965.
- 9) Duncan, E.T. & Williams, S.T.; Evaluation of Rest Position as a Guide in Prosthetic Treatment, J. Prosthet. Dent. 10: 643-650, 1960.
- 10) Gillis, R.R.; Establishing Vertical Dimension in Full Denture Construction, J. Am. Dent. Assoc. 28: 430-436, 1941.
- 11) Gottlieb, B.; Traumatic Occlusion and the Rest Position of the Mandible, J. Periodontol. 18: 7-20, 1967. cited from 29.
- 12) Hull, C.V. & Junghans, J.A.; A Cephalometric Approach to Establishing the Facial Vertical Dimension, J. Prosthet. Dent. 20: 37-42, 1968.
- 13) Hunter, J.; The Natural History of the Human Teeth, ed. I, London, John Johnson, 1771. cited from 29.
- 14) Hurst, W.W.; Vertical Dimension and Its Correlation with Lip Length and Interocclusal Distance, J. Am. Dent. Assoc. 64: 496-504, 1962.
- 15) Joniot, B.; Physiological Mandibular Resting Posture, J. Prosthet. Dent. 31: 4-9, 1974.
- 16) Krajicek, D.D. et al; Clinical & Electromyographic Study of Mandibular Rest Position, J. Prosthet. Dent. 11: 826-830, 1961.
- 17) Landa, J.S.; The Freeway Space and Its Significance in the Rehabilitation of the Masticatory Apparatus, J. Prosthet. Dent. 2: 756, 1952.

- 18) Landy, C.; Full Dentures, pp. 62—83, St. Louis, The C. V. Mosby Company, 1958.
- 19) Niswonger, M.E.; The Rest Position of the Mandible and Centric Relation, J. Am. Dent. Assoc. 21 : 1572—1582, 1934.
- 20) Niswonger, M.E.; Obtaining Vertical Dimensions in Edentulous Cases That Existed Prior to Extraction, J. Am. Dent. Assoc. 25 : 1842—1847, 1938.
- 21) Pleasure, M.A.; Correct Vertical Dimension and Freeway Space, J. Am. Dent. Assoc. 43 : 160, 1951. cited from 14.
- 22) Ramfjord, S.P. & Ash, M.M.; Occlusion, p. 298 Philadelphia, W.B. Saunders Company, 1966.
- 23) Ricketts, R.M.; The Role of Cephalometrics in Prosthetic Diagnosis, J. Prosthet. Dent. 6 : 488—503, 1956.
- 24) Sharry, J.J.; Complete Denture Prosthetics, pp. 187—190, McGraw-Hill Book Comp. 1962.
- 25) Sicher, H.; Positions and Movements of the Mandible, J. Am. Dent. Assoc. 48 : 620—625, 1954.
- 26) Shpunoff, H. & Shpunoff, W.; A Study of Physiological Rest Position & Centric Position by Electromyography, J. Prosthet. Dent. 6 : 620—628, 1956.
- 27) Silverman, M.M.; Accurate Measurement of Vertical Dimension by Speaking Centric Space, D. Digest, 57 : 261—265, 308. 1951.
- 28) Swerdlow, H.; Roentgeno-Cephalometric Study of Vertical Dimension Changes in Immediate Denture Patients, J. Prosthet. Dent. 14 : 635, 1964.
- 29) Swerdlow, H.; Vertical Dimension Literature Review, J. Prosthet. Dent. 15 : 241—247, 1965.
- 30) Tallgren, A.; Changes in Adult Face Height Due to Aneing, Wear and Loss of Teeth and Prosthetic Treatment, Acta Odont. Scandinav. 15 : 1—12, Suppl. 24, 1957.
- 31) Tench, R.W.; Dangers in Dental Reconstruction Involving Increase of the Vertical Dimension of the Lower Third of the Human Face, J. Am. Dent. Assoc. 25 : 566—570, 1938.
- 32) Thompson, J.R.; A Cephalometric Study of the Movements of the Mandible, J. Am. Dent. Assoc. 28 : 750—760, 1941.
- 33) Thompson J.R.; The Constancy of the Position of the Mandible and Its Influence on Prosthetic Restorations, Illinois, D. Society, 12 : 242—247, 272, 1942.
- 34) Thompson, T.R.; The Rest Position of the Mandible and Its Significance to Dental Science, J. Am. Dent. Assoc. 33 : 151—180, 1946.
- 35) Thorne, H.; The Rest Position of Mandible and the Path of Closure from Rest to Occlusion, Acta Odont. Scandinav. 11 : 141—165, 1953.
- 36) Willie, R.G.; Trends in Clinical Methods of Establishing an Ideal Interarch Relationship, J. Prosthet. Dent. 8 : 243—251, 1958.
- 37) Willis, F.M.; Esthetics of Full Denture Construction, J. Am. Dent. Assoc. 17 : 636—642, 1930.
- 38) Wylie, W.L.; Overbite and Vertical Dimension in Terms of Muscle Balance, Angle Orthodontics, 14 : 13—17, 1944.
- 39) Yasaki, M.; The Height of the Occlusion Rim and the Interocclusal Distance, J. Prosthet. Dent. 11 : 26—31, 1961.
- 40) Yasaki, M. (矢崎正方); 總義齒學, 矢崎補綴學叢書, pp. 113—115, 第三編, 1958.
- 41) 姜五桂; 統計學, 博英社, 1974.
- 42) 金志洙; 韓國人에 있어서 Free-way Space 測定, 最新醫學 Vol. 7, No. 1, 1964.
- 43) 朴兌源; 頸顏面 軟組織에 關한 X-線學的研究, 大韓齒科放射線學會誌, Vol. 1, 1 : 29—37, 1971.
- 44) 朴兌源; 韓國人 成人의 側貌에 關한 研究, 大韓齒科放射線學會誌 Vol. 2, 1 : 23—27, 1972.
- 45) 安相奎; 韓國人 顏面高經에 關한 研究, 綜合醫學 Vol. 12, 11 : 891—896, 1967.
- 46) 安炯珪; Roentgenographic Cephalometry에 依한 韓國人의 基準值에 關하여, 醫學 Digest, 3 : 27—43, 1961.
- 47) 安炯珪; 頸顏面 成長에 關한 X-線學的研究, 齒界 第2卷, 4 : 13—21, 1968.
- 48) 張翼泰; 頭部 X-線規格寫眞法에 依한 韓國人 顏面 高徑에 關한 研究, 最新醫學, 第12卷, 3 : 59—70, 1969.